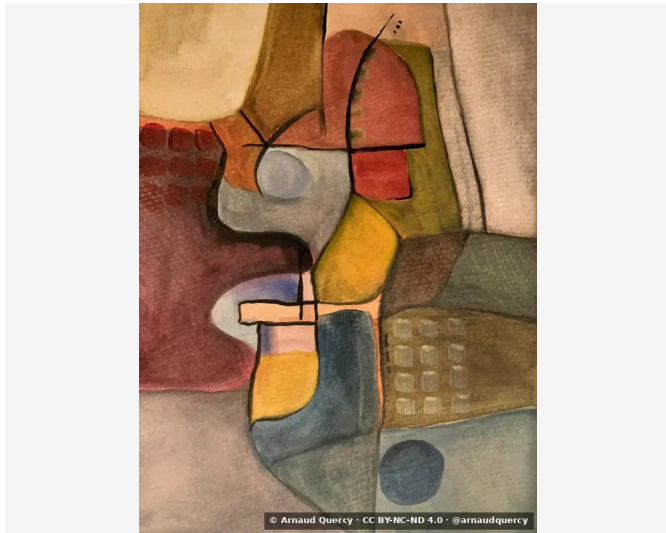


Nanopublication – Analyse Computationnelle d'Image – AQC0441

par Arnaud Quercy · Si Mineur – Réflexions 6 · 2022



AFFIRMATION 1: ANALYSE COMPUTATIONNELLE D'IMAGE - AQC0441

Enregistrement d'analyse [3] : Si Mineur [1] – Réflexions 6 (AQC0441) [2] par Arnaud Quercy [2]. Méthode : k-means. Paramètres : 10 couleurs. Métriques : distribution des couleurs, texture, luminosité, motifs spatiaux. Effectuée : 2026-02-04.

CONTEXTE

L'analyse effectuée selon MMIDS-CMP-2025 [3] comprend quatre catégories de métriques : (1) Distribution des couleurs via k-means (10 couleurs), (2) Analyse de texture utilisant les caractéristiques de Haralick, (3) Mesures de luminosité et contraste, (4) Caractérisation des motifs spatiaux. Image source [5] : 1536x2048 pixels. Date d'analyse : 2026-02-04.

ANALYSE DES COULEURS

| Rang | Couleur | Hex | % | Famille | Nom |
|------|---------|--------|------|---------------|------------------------|
| 1 | | AC9379 | 15.3 | orange | rosybrown |
| 2 | | DAAE84 | 13.8 | orange | burlywood |
| 3 | | 8C7B64 | 13.4 | yellow-orange | gray |
| 4 | | 80533B | 12.0 | orange | burnt sienna |
| 5 | | 5D3A23 | 10.8 | orange | russet |
| 6 | | 5E5D52 | 9.0 | yellow | dimgray |
| 7 | | 8C4D1C | 8.4 | orange | russet |
| 8 | | AB5E35 | 6.8 | orange | burnt sienna |
| 9 | | D89642 | 6.4 | orange | peru |
| 10 | | 2F1B0D | 3.9 | orange | very dark orange |
| 11 | | A62D1C | 0.3 | red-orange | brown [Accent] |
| 12 | | 6C647C | 0.3 | violet | dusty mauve [Accent] |
| 13 | | 343F42 | 0.3 | blue-green | darkslategray [Accent] |

Familles de Couleurs :

| Famille | % |
|---------------|------|
| orange | 77.6 |
| yellow-orange | 13.4 |
| yellow | 9.0 |
| red-orange | 0.3 |
| violet | 0.3 |
| blue-green | 0.3 |

Couleurs d'Accent :

| Hex | Famille | Nom | Chroma |
|--------|------------|---------------|--------|
| A62D1C | red-orange | brown | 61.8 |
| 6C647C | violet | dusty mauve | 14.4 |
| 343F42 | blue-green | darkslategray | 5.0 |

ANALYSE DE TEXTURE

| Métrique | Valeur |
|-------------------------|--------|
| Global Roughness | 0.164 |
| Mean Local Roughness | 0.008 |
| Roughness Uniformity | 0.009 |
| Edge Density | 0.015 |
| Mean Gradient Magnitude | 0.089 |
| Gradient Variance | 0.015 |
| Gradient Smoothness | 0.0 |
| Directional Coherence | 0.011 |
| Pattern Complexity | 0.118 |
| Pattern Repetition | 1.0 |
| Detail Frequency Ratio | 0.568 |
| Spatial Variation | 0.097 |
| Texture Consistency | 0.662 |

ANALYSE DE LUMINOSITÉ ET CONTRASTE

| Métrique | Valeur |
|---------------------------|--------|
| Mean Brightness | 0.468 |
| Brightness Variance | 0.164 |
| Brightness Uniformity | 0.65 |
| Brightness Skewness | -0.052 |
| Brightness Entropy | 7.319 |
| Rms Contrast | 0.164 |
| Michelson Contrast | 1.0 |
| Weber Contrast | 0.618 |
| Mean Local Contrast | 0.01 |
| Contrast Uniformity | 0.006 |
| Dynamic Range | 0.882 |
| Effective Dynamic Range | 0.525 |
| Shadow Percentage | 20.968 |
| Midtone Percentage | 64.583 |
| Highlight Percentage | 14.449 |
| Shadow Clipping | 0.0 |
| Highlight Clipping | 0.0 |
| Tonal Balance | 0.114 |
| Fine Contrast | 0.004 |
| Medium Contrast | 0.012 |
| Coarse Contrast | 0.026 |
| Multiscale Contrast Ratio | 0.163 |
| Edge Contrast | 0.089 |
| Contrast Clustering | 0.338 |

ANALYSE DE DISTRIBUTION SPATIALE

| Métrique | Valeur |
|-----------------------------|--------|
| Spatial Coherence | 0.683 |
| Color Clustering | 0.522 |
| Color Transition Smoothness | 0.756 |
| Transition Uniformity | 0.894 |
| Sharp Transition Ratio | 0.1 |
| Transition Directionality | 0.013 |
| Mean Saturation | 0.469 |
| Saturation Variance | 0.052 |
| Low Saturation Ratio | 0.268 |
| Medium Saturation Ratio | 0.532 |
| High Saturation Ratio | 0.2 |
| Saturation Clustering | 1.0 |
| Hue Concentration | 0.977 |
| Complementary Balance | 0.002 |
| Analogous Dominance | 0.996 |
| Temperature Bias | 0.995 |

Méthodologie

Cette analyse emploie des méthodes computationnelles standardisées pour la caractérisation objective des images. L'extraction des couleurs utilise l'algorithme de regroupement k-means. L'analyse de texture applique l'extraction des caractéristiques de Haralick. Les métriques de luminosité incluent la moyenne, la variance et l'analyse de distribution. Les motifs spatiaux sont caractérisés par des mesures de cohérence et de regroupement. Toutes les méthodes sont déterministes et reproductibles. Analyse effectuée par les systèmes d'imagerie computationnelle de l'Institut Multimodal.

RÉFÉRENCES

- [1] Arnaud Quercy (2022). Si Mineur - Réflexions 6 - Catalog raisonné. <https://arnaudquercy.art/en/catalogue-raisonne/AQC0441.html>
- [2] Quercy, A. (2022). B minor - Reflexions 6 - Gallery. https://artquamanima.com/fr/oeuvres/2022/01/si-mineur-reflexions-6_4zq.html
- [3] Quercy, A. (2025). Computational Image Analysis Standard - MMIDS-CMP-2025 <https://multimodal.institute/en/publications/2025/11/mmids-cmp-2025-computational-image-analysis-standard-dg1.html>

OÙ VIT CETTE ŒUVRE

ÉLÉMENTS THÉMATIQUES

cartographie chromesthétique art synesthétique

accord de Si mineur visualisation musicale

harmonie aquarelle Explorations Synesthétiques

traduction colorée étude pour piano

relations harmoniques synesthésie contemporaine

PROFIL ÉPISTÉMIQUE

Type de revendication computational analysis

Voix third person

Statut épistémique empirical measurement

Méthodologie computational analysis

Certitude high

SOMME DE CONTRÔLE (SHA-256)

f2671256723d5873a243268ddf64fad77a7b1870ff8c8035c9eee102c81175f9

Sous licence Creative Commons Attribution 4.0 International (CC BY 4.0)

Artiste Arnaud Quercy

Date 2022

Certificat 20231231-0027

Asset code AQC0441

Identifiant NAN-COL000463

Version 1

Publié le 2026-02-03

© 2026 Multimodal Institute

Publié par Art Quam Anima Publishing New York,
une marque éditoriale de AQA PUBLISHING LLC
c/o Northwest Registered Agent, 418 Broadway Ste N
Albany, NY 12207, USA
+1 917-764-5470

publishing.artquamanima.com

Dernière mise à jour: 2026-06-03

URI persistante: <https://multimodal.institute/fr/nanopubs/2026/02/AQC0441-computational-image-analysis-aqc0441.pdf>